FOUILLES DANS LES SABLIÈRES DE LA MOYENNE VALLÉE DE L'OISE EN 1989

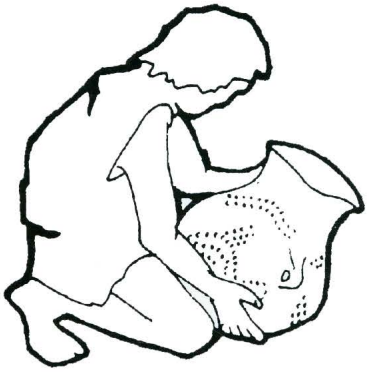

C.R.A.V.O.

REVUE ARCHEOLOGIQUE DE PICARDIE

Trimestriel – N° Spécial 8 – 1990 / 60 F.

APPROCHE MORPHODYNAMIQUE ET SEDIMENTOLOGIQUE DU PALEOCHENAL DE "LA BUTTE DE RHUIS II" A LONGUEIL-SAINTE-MARIE (OISE) : ETUDE PRELIMINAIRE

Par Pierre GADIOLET* et Jean-Paul BRAVARD**

La tranchée réalisée dans la zone linéaire déprimée située au nord du site a révélé un paléochenal au remplissage limono-sableux (Fig. 1). L'étude de ce remplissage est basée sur l'analyse de la stratigraphie et l'interprétation de la granulométrie des dépôts alluviaux au moyen de la méthode de l'image CM (ce volume, p. 67)

I. INTERPRETATION DU REMPLISSAGE SEDIMENTAIRE DU PALEOCHENAL

Globalement, deux phases d'activité du chenal sont différenciées :

– une phase d'importante activité hydrodynamique, caractérisée par la circulation de courants turbulents et le transit de matériaux dans le chenal. La couche 1 (sables limoneux humifères de coloration noire à gris foncé et silex), contemporaine de la fin de cette phase d'activité, se présente sous la forme d'un dépôt hétérométrique constitué d'un mélange de particules issues de différents modes de transport ; suspension uniforme, suspension graduée et charge roulée (échantillons I-7 à 10 et II-9 à 10)(Fig. 3, n° 1 et 2). Cette forme de sédimentation résulte d'une chute brutale de la compétence des eaux, qui entraîne un dépôt forcé "en vrac" de la charge.

Ce dépôt révèle une alternance de processus qui préfigure le recoupement et l'abandon du chenal par le cours d'eau (deux chenaux devaient exister, dont l'Oise actuelle).

– une phase de faible activité hydrodynamique, caractérisée par la circulation de courants lents et le transit de matériaux transportés en suspension uniforme dans la lame d'eau (couche 2, échantillons I-4 à 6 et II-5 à 8). Ce dépôt de limons homogènes est issu de la décantation des eaux d'inondation de l'Oise qui réemprunt-tait, en période de crue, le cours de ce chenal abandonné.

La dépression partiellement colmatée laissée par le paléochenal dans la plaine d'inondation a ensuite été soumise à un remblaiement par des sables limoneux beiges (couche 3, échantillons I-1 à 2 et II-1 à 4) vraisemblablement issus de processus de colluvionnement qui ont affecté la butte sableuse toute proche, puis par des apports modernes de sables issus des boues de lavage des betteraves (couche 4).

II. DISCUSSION

Le paléochenal a connu différentes phases d'activité morphodynamique dont nous ne connaissons malheureusement pas la chronologie.

Certains indices permettent néanmoins de proposer une chronologie relative. Ainsi, le tesson de céramique "Villeneuve-Saint-Germain" (Fig. 2) trouvé à la base de la couche 1 permet d'affirmer que l'abandon du chenal est contemporain du Néolithique ancien ou postérieur. Les périodes de début de comblement de la dépression par des processus de colluvionnement et de creusement du fossé qui recoupe les couches 1 et 2 n'ont pu être datées.

De nouvelles découvertes archéologiques permettront sans doute de préciser la chronologie de ces phases de sédimentation, en vue d'une meilleure connaissance des paléoenvironnements alluviaux et de leurs relations avec l'occupation humaine dans la vallée de l'Oise.

* Chercheur rattaché au département de géographie, Université Jean Moulin – Lyon III.

** Professeur à l'université Jean Moulin – Lyon III, U.R.A. 260 et P.I.R.E.N. Rhône.

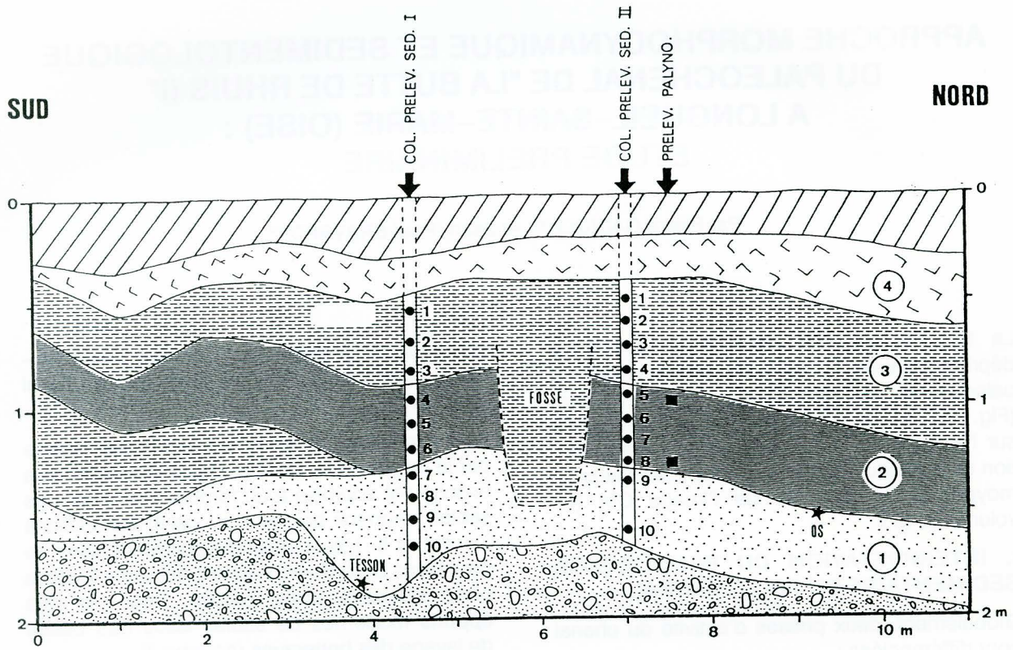

Fig. 1 : Coupe du paléochenal de "La Butte de Rhuis II"

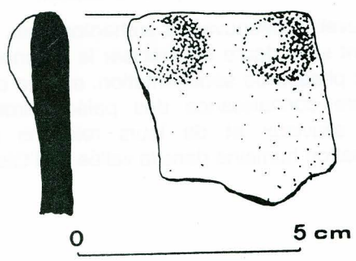

Fig. 2 : Tesson découvert dans la première couche de comblement du chenal, attribuable au groupe de Villeneuve-Saint-Germain.

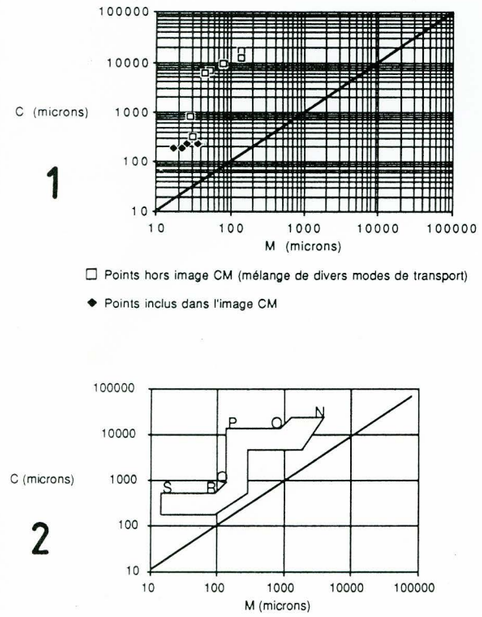

□ Points hors image CM (mélange de divers modes de transport)

◆ Points inclus dans l'image CM

Segment RS : dépôts issus d'un transport en suspension uniforme

Segment QR : dépôts issus d'un transport en suspension graduée

Segment PQ : dépôts issus d'un transport en suspension graduée avec des particules roulées

Segment NOP : dépôts issus d'un transport par roulage

Fig. 3 : Etude sédimentologique du paléochenal de "La Butte de Rhuis II". 1 – graphe CM ; 2 – Image CM

Echantillon	Couche	M (microns)	C (microns)	Mode de transport
I-4	2	26	240	Suspension Uniforme
I-5	2	22	190	Suspension Uniforme
I-6	2	17	190	Suspension Uniforme
I-7	Interface	29	800	Mélange SU-SG
I-8	1	140	17000	Mélange SU-SG roulé
I-9	1	52	7000	Mélange SU-SG roulé
I-10	1	46	6300	Mélange SU-SG roulé
II-5	2	35	240	Suspension Uniforme
II-6	2	38	240	Suspension Uniforme
II-7	2	36	230	Suspension Uniforme
II-8	2	31	330	Suspension Uniforme
II-9	1	80	9400	Mélange SU-SG roulé
II-10	1	140	12500	Mélange SU-SG roulé

Tableau I : Liste et caractérisation des échantillons analysés.